

# 基于梯度下降法的 RBF 神经网络控制

离散神经网络控制系统中,常采用梯度下降法实现神经网络权值的学习,有代表性的研究工作如文献[1-2]。

## 3.1 基于 RBF 神经网络的监督控制

### 3.1.1 RBF 监督控制

图 3.1 为基于 RBF 神经网络的监督控制系统,其控制思想为: 初始阶段采用 PD 反馈

控制,然后过渡到神经网络控制。在控制过程中,如出现较大的误差,则 PD 控制起主导作用,神经网络控制起调节作用。

设径向基向量为  $\mathbf{h} = [h_1, h_2, \dots, h_m]^T$ ,  $h_j$  为高斯函数,则

$$h_j = \exp\left(-\frac{\|\mathbf{x}(k) - \mathbf{c}_j\|^2}{2b_j^2}\right) \quad (3.1)$$

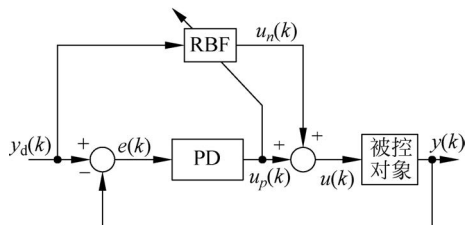


图 3.1 基于 RBF 神经网络的监督控制系统

其中,  $i=1; j=1, 2, \dots, m$ ;  $\mathbf{x}(k)$  为 RBF 神经网络的输入;  $\mathbf{c}_j = [c_{11}, c_{12}, \dots, c_{1m}]$ ;  $\mathbf{b} = [b_1, b_2, \dots, b_m]^T$ 。

设权值向量为

$$\mathbf{w} = [w_1, w_2, \dots, w_m]^T \quad (3.2)$$

RBF 神经网络的输出为

$$u_n(k) = h_1 w_1 + \dots + h_j w_j + \dots + h_m w_m \quad (3.3)$$

其中,  $m$  为隐含层节点的个数。

总控制输入为  $u(k) = u_n(k) + u_p(k)$ , 误差指标为

$$E(k) = \frac{1}{2} [u_n(k) - u(k)]^2 \quad (3.4)$$

采用梯度下降法, 网络权值学习算法为

$$\begin{aligned} \Delta w_j(k) &= -\eta \frac{\partial E(k)}{\partial w_j(k)} = \eta [u_n(k) - u(k)] h_j(k) \\ w(k) &= w(k-1) + \Delta w(k) + \alpha [w(k-1) - w(k-2)] \end{aligned} \quad (3.5)$$

其中,  $\eta \in [0,1]$  为学习速率;  $\alpha \in [0,1]$  为动量因子。

### 3.1.2 仿真实例

设控制对象为

$$G(s) = \frac{1000}{s^3 + 87.35s^2 + 10470s}$$

取采样周期为 1ms, 对上述对象进行离散化, 可得

$$y(k) = -\text{den}(2)y(k-1) - \text{den}(3)y(k-2) + \\ \text{num}(2)u(k-1) + \text{num}(3)u(k-2)$$

取神经网络的结构为 1-4-1, 理想跟踪指令  $y_d(k)$  取幅值为 0.5 的大波信号, 网络输入为  $y_d(k)$ , 网络的初始权值取  $[0,1]$  的随机数, 根据网络的输入范围, 高斯函数参数取  $c = [-2 \quad -1 \quad 1 \quad 2]^T$ ,  $b_j = 0.5$ 。取学习速率  $\eta = 0.30$ , 动量因子  $\alpha = 0.05$ 。

仿真结果如图 3.2 和图 3.3 所示。RBF 监督控制的仿真程序为 chap3\_1.m, 详见附录。

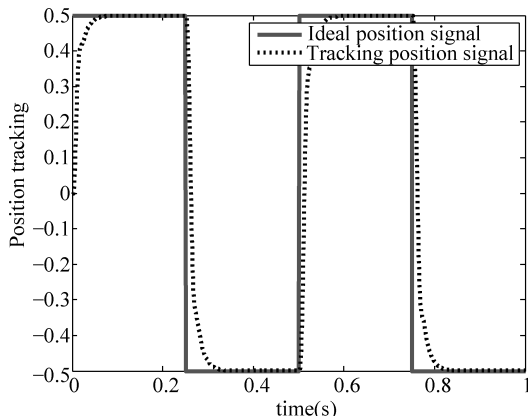


图 3.2 方波跟踪效果

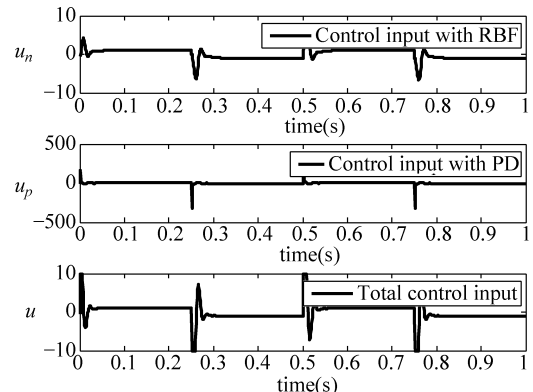


图 3.3 神经网络输入、PD 控制

输入及总控制输入

## 3.2 基于 RBF 神经网络的模型参考自适应控制

### 3.2.1 控制系统设计

图 3.4 为基于 RBF 神经网络的模型参考自适应控制系统框图。

设理想跟踪指令为  $y_m(k)$ , 则定义跟踪误差为

$$e(k) = y_m(k) - y(k) \quad (3.6)$$

网络权值学习误差指标为

$$E(k) = \frac{1}{2}e(k)^2 \quad (3.7)$$

控制输入为 RBF 神经网络的输出:

$$u(k) = h_1 w_1 + \dots + h_j w_j + \dots + h_m w_m \quad (3.8)$$

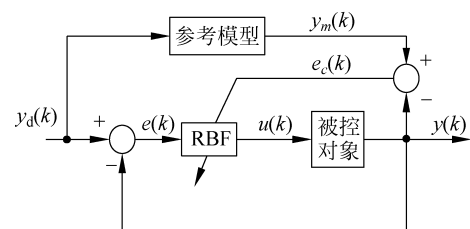


图 3.4 基于 RBF 神经网络的模型参考自适应控制系统

其中,  $m$  为隐含层的节点个数;  $w_j$  为节点的权值;  $h_j$  为高斯函数的输出。

在 RBF 神经网络中,  $\mathbf{x} = [x_1, x_2, \dots, x_n]^T$  为网络输入,  $\mathbf{h} = [h_1, h_2, \dots, h_m]^T$ ,  $h_j$  为高斯函数:

$$h_j = \exp\left(-\frac{\|\mathbf{x} - \mathbf{c}_j\|^2}{2b_j^2}\right) \quad (3.9)$$

其中,  $i=1, 2, \dots, n$ ;  $j=1, 2, \dots, m$ 。  $b_j > 0$ ,  $\mathbf{c}_j = [c_{j1}, c_{j2}, \dots, c_{jn}]$ ,  $\mathbf{b} = [b_1, b_2, \dots, b_m]^T$ 。

设权值向量为

$$\mathbf{w} = [w_1, w_2, \dots, w_m]^T \quad (3.10)$$

由梯度下降法, 网络的学习算法为

$$\Delta w_j(k) = -\eta \frac{\partial E(k)}{\partial w} = \eta e_c(k) \frac{\partial y(k)}{\partial u(k)} h_j$$

$$w_j(k) = w_j(k-1) + \Delta w_j(k) + \alpha \Delta w_j(k) \quad (3.11)$$

其中,  $\eta$  为学习速率;  $\alpha$  为动量因子;  $\eta \in [0, 1]$ ,  $\alpha \in [0, 1]$ 。

同理可得

$$\begin{aligned} \Delta b_j(k) &= -\eta \frac{\partial E(k)}{\partial b_j} = \eta e_c(k) \frac{\partial y(k)}{\partial u(k)} \frac{\partial u(k)}{\partial b_j} \\ &= \eta e_c(k) \frac{\partial y(k)}{\partial u(k)} w_j h_j \frac{\|\mathbf{x} - \mathbf{c}_{ij}\|^2}{b_j^3} \end{aligned} \quad (3.12)$$

$$b_j(k) = b_j(k-1) + \eta \Delta b_j(k) + \alpha [b_j(k-1) - b_j(k-2)] \quad (3.13)$$

$$\begin{aligned} \Delta c_{ij}(k) &= -\eta \frac{\partial E(k)}{\partial c_{ij}} = \eta e_c(k) \frac{\partial y(k)}{\partial u(k)} \frac{\partial u(k)}{\partial c_{ij}} \\ &= \eta e_c(k) \frac{\partial y(k)}{\partial u(k)} w_j h_j \frac{x_i - c_{ij}}{b_j^2} \end{aligned} \quad (3.14)$$

$$c_{ij}(k) = c_{ij}(k-1) + \eta \Delta c_{ij}(k) + \alpha [c_{ij}(k-1) - c_{ij}(k-2)] \quad (3.15)$$

其中,  $\frac{\partial y(k)}{\partial u(k)}$  为 Jacobian 阵, 表征系统输出对控制输入的灵敏度。在学习算法中,  $\frac{\partial y(k)}{\partial u(k)}$  值可采用差分求得, 不精确部分可通过权值的调整来修正。可用  $\frac{\Delta y(k)}{\Delta u(k)}$  的正负号来代替  $\frac{\partial y(k)}{\partial u(k)}$ , 这样可使算法更加简单。

### 3.2.2 仿真实例

取离散被控对象为

$$y(k) = [-0.10y(k-1) + u(k-1)]/[1 + y(k-1)^2]$$

其中, 采样周期为  $t_s = 1\text{ms}$ , 参考模型为  $y_m(k) = 0.6y_m(k-1) + y_d(k)$ , 理想跟踪指令为  $y_d(k) = 0.50\sin(2\pi k \times t_s)$ 。

取 RBF 神经网络的输入为  $y_d(k)$ 、 $e_c(k)$  和  $y(k)$ , 学习速率为  $\eta = 0.35$ , 动量因子为  $\alpha = 0.05$ 。

根据网络的输入范围, 高斯函数参数值为  $\mathbf{c} = \begin{bmatrix} -3 & -2 & -1 & 1 & 2 & 3 \end{bmatrix}^T$ ,  $\mathbf{b} = [2, 2, 2, 2, 2, 2]^T$

$[2, 2, 2, 2]^T$ , 网络初始权值取 $[0, 1]$ 的随机值。

仿真结果如图 3.5 和图 3.6 所示。基于 RBF 神经网络的模型参考自适应控制程序为 chap3\_2.m。

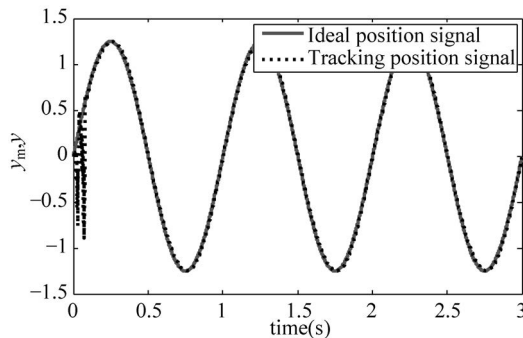


图 3.5 正弦跟踪

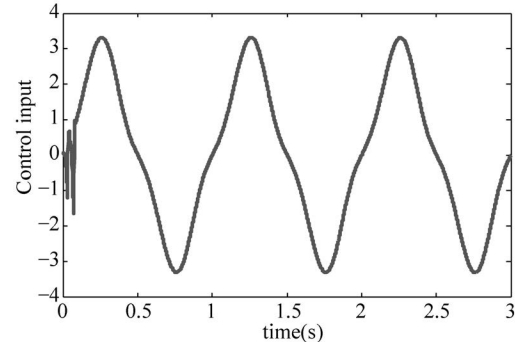


图 3.6 控制输入

### 3.3 RBF 神经网络自校正控制

#### 3.3.1 系统描述

考虑被控对象：

$$y(k+1) = f[y(k)] + bu(k) \quad (3.16)$$

其中,  $u$  和  $y$  分别为输入和输出,  $b$  为已知实数。

若  $f(\cdot)$  已知, 则根据确定性等价原则, 自校正控制算法为

$$u(k) = \frac{-f(\cdot) + y_d(k+1)}{b} \quad (3.17)$$

采用控制律式(3.17), 系统的输出  $y(k)$  能精确地跟踪输入  $y_d(k)$ 。

#### 3.3.2 RBF 控制算法设计

若  $f(\cdot)$  未知, 则可通过在线训练神经网络辨识器, 得到  $f(\cdot)$  的辨识值  $N\varphi(\cdot)$ , 此时自校正控制算法为

$$u(k) = \frac{-N\varphi(\cdot) + y_d(k+1)}{b} \quad (3.18)$$

采用 RBF 神经网络可实现未知函数项  $f(\cdot)$  的辨识。在 RBF 神经网络结构中, 取网络的输入为  $y(k)$ ,  $h_j$  为网络第  $i$  个输入第  $j$  个结点高斯函数输出:

$$h_j = \exp \left[ -\frac{\|y(k) - c_{1j}\|^2}{2b_j^2} \right] \quad (3.19)$$

其中,  $i=1, j=1, \dots, m$ ,  $b_j$  为节点  $j$  的宽度参数,  $b_j > 0$ ,  $c_{ij}$  为网络第  $i$  个输入第  $j$  个结点的中心点坐标值。

网络的权向量为  $\mathbf{W} = [w_1, w_2, \dots, w_m]^T$ , RBF 神经网络的输出为

$$N\varphi(k) = \sum_{j=1}^m h_j w_j \quad (3.20)$$

其中,  $m$  为 RBF 网络隐层神经元的个数。

辨识后, 对象的输出为

$$y_n(k) = N\varphi[y(k-1)] + bu(k-1) \quad (3.21)$$

神经网络调整的性能指标为

$$E(k) = \frac{1}{2} [y(k) - y_n(k)]^2 \quad (3.22)$$

采用梯度下降法调整网络的权值:

$$\Delta w_j(k) = -\eta \frac{\partial E(k)}{\partial w_j(k)} = \eta [y(k) - y_n(k)] h_j(k)$$

神经网络权值的调整过程为

$$W(k) = W(k-1) + \Delta W(k) + \alpha [W(k-1) - W(k-2)] \quad (3.23)$$

其中,  $\eta$  为学习速率,  $\alpha$  为动量因子。

由式(3.16)和式(3.21)可得

$$y(k) - y_n(k) = f[y(k-1)] - N\varphi[y(k-1)]$$

通过梯度下降法, 可实现  $t \rightarrow \infty$  时,  $E(k) \rightarrow 0$ ,  $N\varphi[y(k-1)] \rightarrow f[y(k-1)]$ , 从而实现未知函数  $f(\cdot)$  的辨识。

### 3.3.3 仿真实例

被控对象为

$$y(k) = 0.8\sin[y(k-1)] + 15u(k-1)$$

其中,  $f[y(k)] = 0.8\sin[y(k-1)]$ 。

输入信号为正弦信号  $y_d(k) = \sin(0.1\pi t)$ 。取  $y(k)$  作为网络的输入, 网络隐含层神经元个数取  $m=5$ , 网络结构为 1-5-1, 网络的初始权值每个值取 1.0,  $b_j = 5.0$ 。

采用控制律式(3.18), 网络权值学习参数为  $\eta=0.10$ ,  $\alpha=0.05$ 。RBF 神经网络自校正控制程序为 chap3\_3.m。仿真结果如图 3.7~图 3.9 所示。仿真程序为 chap3\_3.m, 详见附录。

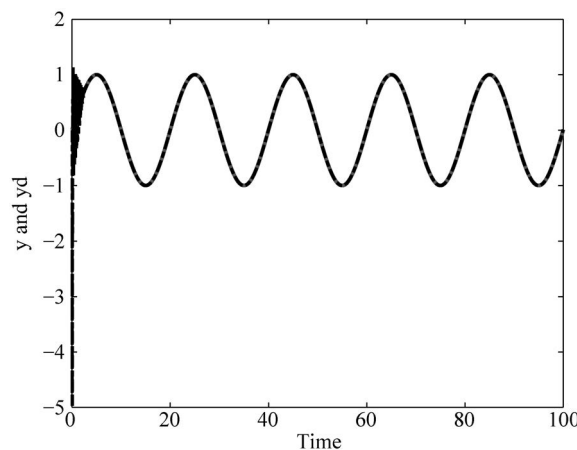
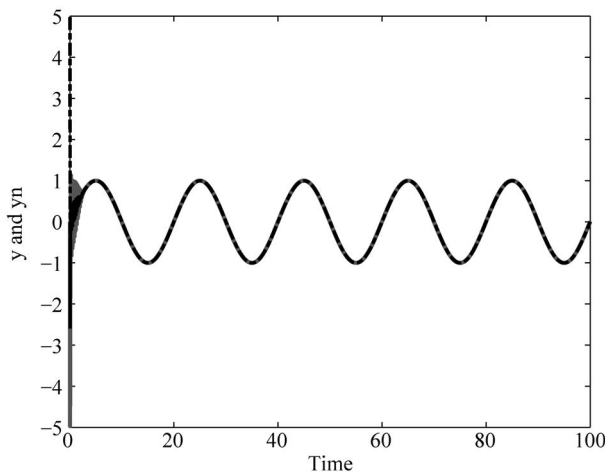
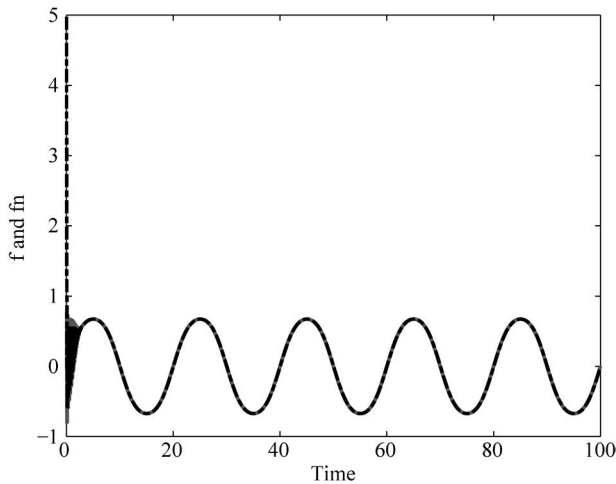


图 3.7 正弦位置跟踪

图 3.8 输出  $y$  及其逼近  $y_n$ 图 3.9  $f(x, t)$  及其辨识结果  $\hat{f}(x, t)$ 

## 附录 仿真程序

### 3.1.2 节的程序

RBF 监督控制仿真程序：chap3\_1.m

```
% RBF Supervisory Control
clear all;
close all;

ts = 0.001;
sys = tf(1000,[1,50,2000]);
dsys = c2d(sys,ts,'z');
[num,den] = tfdata(dsys,'v');

y_1 = 0;y_2 = 0;
```

```

u_1 = 0; u_2 = 0;
e_1 = 0;

xi = 0;
x = [0, 0]';

b = 0.5 * ones(4, 1);
c = [-2 -1 1 2];
w = rands(4, 1);
w_1 = w;
w_2 = w_1;

xite = 0.30;
alfa = 0.05;

kp = 25;
kd = 0.3;
for k = 1:1:1000
    time(k) = k * ts;
S = 1;
if S == 1
    yd(k) = 0.5 * sign(sin(2 * 2 * pi * k * ts)); % Square Signal
elseif S == 2
    yd(k) = 0.5 * (sin(3 * 2 * pi * k * ts)); % Sine Signal
end

y(k) = -den(2) * y_1 - den(3) * y_2 + num(2) * u_1 + num(3) * u_2;
e(k) = yd(k) - y(k);

xi = yd(k);

for j = 1:1:4
    h(j) = exp(-norm(xi - c(:, j))^2 / (2 * b(j) * b(j)));
end
un(k) = w' * h';

% PD Controller
up(k) = kp * x(1) + kd * x(2);

M = 2;
if M == 1 % Only Using PID Control
    u(k) = up(k);
elseif M == 2 % Total control output
    u(k) = up(k) + un(k);
end

if u(k) >= 10
    u(k) = 10;
end
if u(k) <= -10
    u(k) = -10;
end

% Update NN Weight
d_w = -xite * (un(k) - u(k)) * h';
w = w_1 + d_w + alfa * (w_1 - w_2);

w_2 = w_1;
w_1 = w;
u_2 = u_1;

```

```

u_1 = u(k);
y_2 = y_1;
y_1 = y(k);

x(1) = e(k); % Calculating P
x(2) = (e(k) - e_1)/ts; % Calculating D
e_1 = e(k);
end
figure(1);
plot(time,yd,'r',time,y,'k:','linewidth',2);
xlabel('time(s)');ylabel('Position tracking');
legend('Ideal position signal','Tracking position signal');

figure(2);
subplot(311);
plot(time,un,'k','linewidth',2);
xlabel('time(s)');ylabel('un');
legend('Control input with RBF');
subplot(312);
plot(time,up,'k','linewidth',2);
xlabel('time(s)');ylabel('up');
legend('Control input with PD');
subplot(313);
plot(time,u,'k','linewidth',2);
xlabel('time(s)');ylabel('u');
legend('Total control input');

```

### 3.2.2 节的程序

基于 RBF 神经网络的模型参考自适应控制：chap3\_2.m

```

% Model Reference Adaptive RBF Control
clear all;
close all;

u_1 = 0;
y_1 = 0;
ym_1 = 0;

x = [0,0,0]';
c = [-3 -2 -1 0 1 2 3;
      -3 -2 -1 0 1 2 3;
      -3 -2 -1 0 1 2 3];
b = 2;
w = rands(1,7);

xite = 0.35;
alfa = 0.05;
h = [0,0,0,0,0,0,0]';

c_1 = c;c_2 = c;
b_1 = b;b_2 = b;
w_1 = w;w_2 = w;

ts = 0.001;
for k = 1:1:3000
    time(k) = k * ts;

    yd(k) = 0.50 * sin(2 * pi * k * ts);
    ym(k) = 0.6 * ym_1 + yd(k);

```

```

y(k) = (-0.1 * y_1 + u_1)/(1 + y_1^2); % Nonlinear plant

for j = 1:1:7
    h(j) = exp(-norm(x - c(:,j))^2/(2 * b^2));
end
u(k) = w * h;

ec(k) = ym(k) - y(k);
dyu(k) = sign((y(k) - y_1)/(u(k) - u_1));

d_w = 0 * w;
for j = 1:1:7
    d_w(j) = xite * ec(k) * h(j) * dyu(k);
end
w = w_1 + d_w + alfa * (w_1 - w_2);
% Return of parameters
u_1 = u(k);
y_1 = y(k);
ym_1 = ym(k);

x(1) = yd(k);
x(2) = ec(k);
x(3) = y(k);

w_2 = w_1; w_1 = w;
end
figure(1);
plot(time, ym, 'r', time, y, 'k:', 'linewidth', 2);
xlabel('time(s)'); ylabel('ym,y');
legend('Ideal position signal', 'Tracking position signal');
figure(2);
plot(time, u, 'r', 'linewidth', 2);
xlabel('time(s)'); ylabel('Control input');

```

### 3.3.3 节的程序

#### RBF 神经网络自校正控制：chap3\_3.m

```

clear all;
close all;
xite = 0.10;
alfa = 0.05;

w = ones(5,1);
cij = [-2 -1 0 1 2];
bj = 15;
h = zeros(5,1);

w_1 = w; w_2 = w_1;
u_1 = 0; y_1 = 0;
ts = 0.02;
for k = 1:1:5000
    time(k) = k * ts;
    yd(k) = sin(0.1 * pi * k * ts);

    % Practical Plant;
    f(k) = 0.8 * sin(y_1);
    b = 15;

```

```

y(k) = f(k) + b * u_1;

for j = 1:1:5
    h(j) = exp(-norm(y(k) - cij(:,j))^2/(2 * bj^2));
end

fn(k) = w' * h;
yn(k) = fn(k) + b * u_1;

e(k) = y(k) - yn(k);

d_w = 0 * w;
for j = 1:1:5
    d_w(j) = xite * e(k) * h(j);
end
w = w_1 + d_w + alfa * (w_1 - w_2);

u(k) = (-fn(k) + yd(k))/b;

u_1 = u(k);
y_1 = y(k);

w_2 = w_1;
w_1 = w;
end

figure(1);
plot(time,yd,'r',time,y,'-.k','linewidth',2);
xlabel('Time'); ylabel('y and yd');

figure(2);
plot(time,y,'r',time,yn,'-.k','linewidth',2);
xlabel('Time'); ylabel('y and yn');

figure(3);
plot(time,f,'r',time,fn,'-.k','linewidth',2);
xlabel('Time'); ylabel('f and fn');

```

## 参考文献

- [1] NORIEGA J R, WANG H. A direct adaptive neural network control for unknown nonlinear systems and its application[J]. IEEE Transactions on Neural Networks, 1998, 9(1): 27-34.
- [2] SUYKENS J A K, VANDEWALLE J P L, DEMOOR B L R. Artificial neural networks for modeling and control of nonlinear systems[M]. Boston: Kluwer Academic, 1996.
- [3] 刘金琨. 智能控制[M]. 2 版. 北京: 电子工业出版社, 2012.